

流感

监测周报

2/2015年

2015年第2周 总第317期

(2014年1月5日-2015年1月11日)



中国疾病预防控制中心
病毒病预防控制所



目 录

CONTENTS

01	摘要
03	一、暴发疫情
05	二、流感样病例报告
07	三、病原学监测
12	四、人感染动物源性流感病毒疫情
14	五、动物禽流感疫情
14	六、其他国家 / 地区流感监测情况



中国流感流行情况概要（截至2015年1月11日）

·2015年第2周，我国南方省份流感活动水平仍处于继续上升趋势，检测到的B型流感所占比例高于A(H3N2)流感亚型；北方省份仍处于流感流行高峰期，A(H3N2)流感病毒仍占绝对优势。

·2014年10月以来，甲型H1N1流感病毒17株(100%)为A/California/7/2009的类似株，A(H3N2)亚型流感病毒243株(99.6%)为A/Texas/50/2012(H3N2)(鸡胚株)的低反应株，B(Yamagata)系72株(92.3%)为B/Massachusetts/2/2012类似株，B(Victoria)系1株(100%)为B/Brisbane/60/2008的类似株。

·2014年10月以来，耐药性监测显示，所有甲型H1N1和A(H3N2)亚型流感毒株均对烷胺类药物耐药；所有甲型H1N1、A(H3N2)亚型和B型流感毒株均对神经氨酸酶抑制剂敏感。

摘要

一、暴发疫情

2015年第2周(2015年1月5-11日)，全国(未含港澳台地区，下同)报告流感样病例暴发疫情(病例数10例及以上)31起，经实验室检测，其中20起为A(H3)流感暴发疫情，3起未获得实验室检测结果，7起为B型流感，1起为流感病毒阴性，共报告病例749例，无死亡病例。



二、流感样病例报告

2015年第2周,南方省份哨点医院报告的流感样病例占门诊急诊病例总数百分比(ILI%)为2.8%,低于前一周以及2011和2014年同期水平(分别为2.9%、3.1%和3.9%),高于2013年同期水平(2.5%),与2012年同期水平持平(2.8%)。

2015年第2周,北方省份哨点医院报告的ILI%为3.5%,低于前一周以及2011、2013和2014年同期水平(4.2%、3.8%、4.3%和3.1%),高于2012年同期水平(2.9%)。

三、病原学监测

2015年第2周,全国流感监测网络实验室共检测流感样病例监测标本5004份,流感病毒阳性标本1044份(20.9%),其中,A型流感682份(65.3%),B型流感362份(34.7%)。第2周,南方省份流感检测阳性率为19.0%,高于前一周(14.6%);北方省份流感检测阳性率为23.3%,低于前一周(32.5%)。南、北方省份检测到的流感各型别/亚型的数量和所占比例具体见表1。

表1 流感样病例监测实验室检测结果

	第2周		
	南方省份	北方省份	合计
检测数	2851	2153	5004
阳性数(%)	542(19.0%)	502(23.3%)	1044(20.9%)
A型	186(34.3%)	496(98.8%)	682(65.3%)
季节性A(H3N2)	183(98.4%)	490(98.8%)	673(98.7%)
甲型(H1N1)	2(1.1%)	0(0)	2(0.3%)
A(unsubtyped)	1(0.5%)	6(1.2%)	7(1.0%)
B型	356(65.7%)	6(1.2%)	362(34.7%)
B未分系	38(10.7%)	5(83.3%)	43(11.9%)
Victoria	2(0.6%)	0(0)	2(0.6%)
Yamagata	316(88.8%)	1(16.7%)	317(87.6%)

2015年第2周,国家流感中心对71株A(H3N2)亚型流感毒株进行抗原性分析,71株均为A/Texas/50/2012(H3N2)(鸡胚株)的低反应株。

2015年第2周,国家流感中心对6株甲型H1N1、109株A(H3N2)、36株B型流感毒株耐药性监测显示,所有甲型H1N1、A(H3N2)、B型流感毒株均对神经氨酸酶抑制剂敏感。

暴发疫情

（一）本周新增报告的暴发疫情概况。

2015年第2周(2015年1月5—11日),全国(未含港澳台地区,下同)报告流感样病例暴发疫情(病例数10例及以上)31起,经实验室检测,其中20起为A(H3)流感暴发疫情,3起未获得实验室检测结果,7起为B型流感,1起为流感病毒阴性,共报告病例749例,无死亡病例。

（二）年度暴发疫情概况。

2014年第14周—2015年第2周(2014年3月31日—2015年1月11日),全国累计报告ILI暴发疫情(病例数10例及以上)478起,其中A(H3)暴发疫情358起,甲型H1N1流感暴发疫情4起,B型流感暴发疫情68起,混合型流感疫情6起,未确定疫情性质的疫情42起。

1. 时间分布。

2014年第14周—2015年第2周,南方省份共报告266起ILI暴发疫情,低于2013—2014年同期报告疫情(439起)。(图1)

2014年第14周—2015年第2周,北方省份共报告212起ILI暴发疫情,高于2013—2014年同期报告疫情(61起)。(图2)

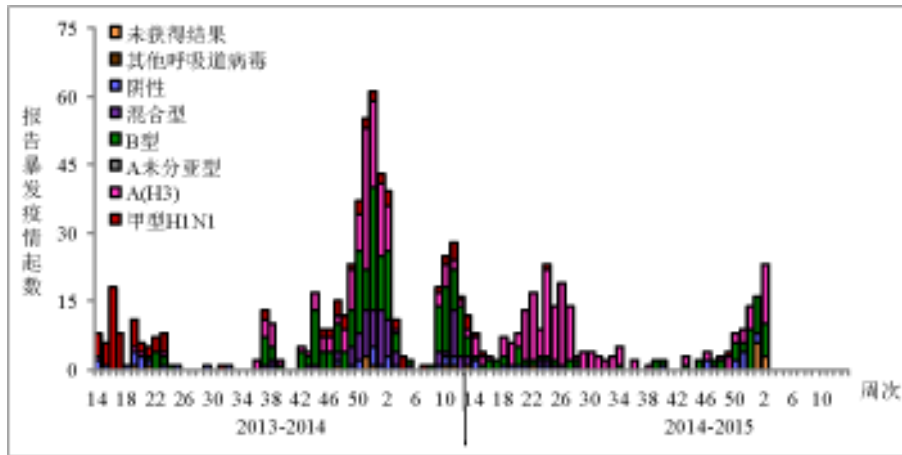


图1 2013 – 2015 年度南方省份报告ILI暴发疫情时间分布
(按疫情报告时间统计)

注: 2014年第8周报告的1起暴发疫情为2013年5月发生的疫情; 第9周报告疫情中, 4起为2013年11、12月份发生的疫情。

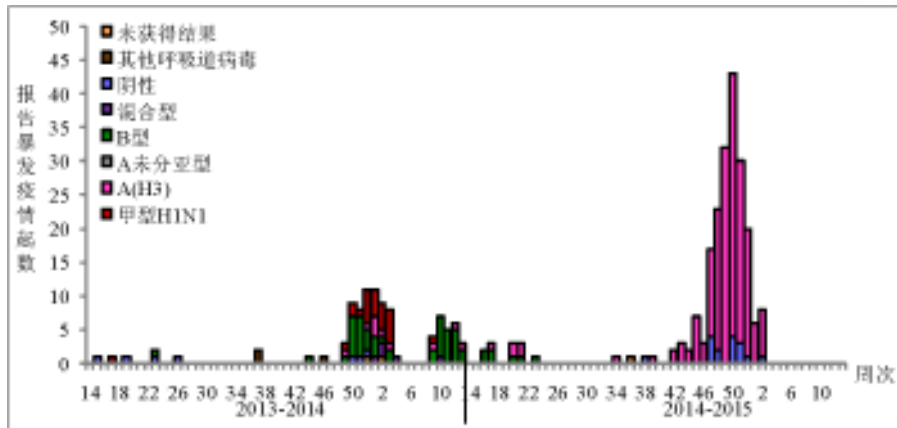


图2 2013 – 2015 年度北方省份报告ILI暴发疫情时间分布
(按疫情报告时间统计)

2. 地区分布。

2014年第14周 – 2015年第2周, 全国累计报告的478起ILI暴发疫情, 分布于广东 (75起), 山东 (65起), 北京 (54起), 江苏 (31起), 湖南、重庆 (各28起), 广西、天津 (各20起), 上海 (19起), 黑龙江 (15起), 贵州 (13起) 新疆 (12起), 河北、湖北 (各11起), 福建 (10起), 云南 (9起), 安徽 (8起), 浙江 (7起), 辽宁 (6起), 山西、陕西、甘肃 (各5起), 海南、内蒙古 (各4起), 青海、宁夏 (各3起), 江西、西藏、河南 (各2起), 四川 (1起)。

流感样病例报告

（一）流感监测哨点医院报告情况。

截至 2015 年 1 月 12 日 24 时，全国 554 家国家级流感监测哨点医院有 533 家 (96.2%) 报告了 2015 年第 2 周的 ILI 数据。25 个省份及新疆生产建设兵团的及时报告率达到 100%。

表 2 2015 年第 2 周各省份报告不及时的国家级 ILI 监测哨点医院数量统计

省份	报告不及时哨点医院数量 (家)	省份	报告不及时哨点医院数量 (家)
西藏	10	河北省	1
内蒙古	5	河南省	1
四川省	3	青海省	1

（二）南方省份流感样病例占门急诊病例总数百分比。

2015 年第 2 周，南方省份哨点医院报告的流感样病例占门急诊病例总数百分比 (ILI%) 为 2.8%，低于前一周以及 2011 和 2014 年同期水平 (分别为 2.9%、3.1% 和 3.9%)，高于 2013 年同期水平 (2.5%)，与 2012 年同期水平持平 (2.8%)。(图 3)

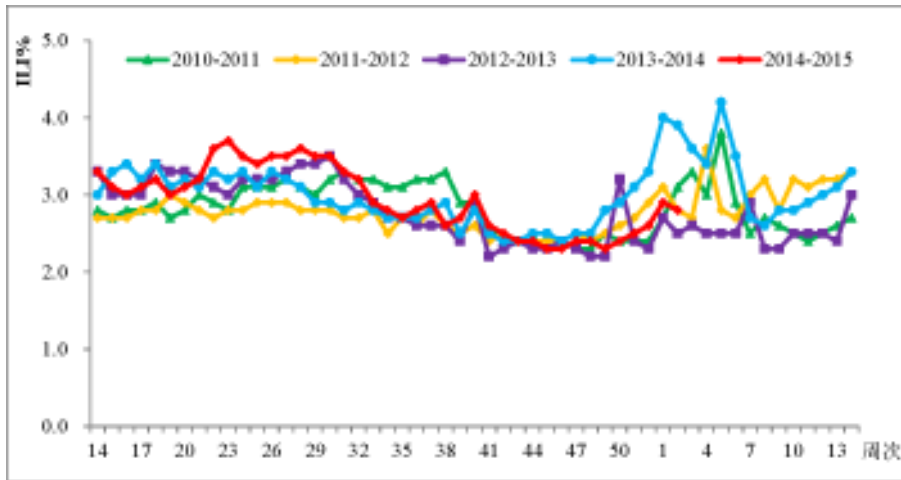


图3 2010 - 2015 年度南方省份哨点医院报告的流感样病例%

(三) 北方省份流感样病例占门急诊病例总数百分比。

2015年第2周, 北方省份哨点医院报告的ILI%为3.5%, 低于前一周以及2011、2013和2014年同期水平(4.2%、3.8%、4.3%和3.1%), 高于2012年同期水平(2.9%)。(图4)

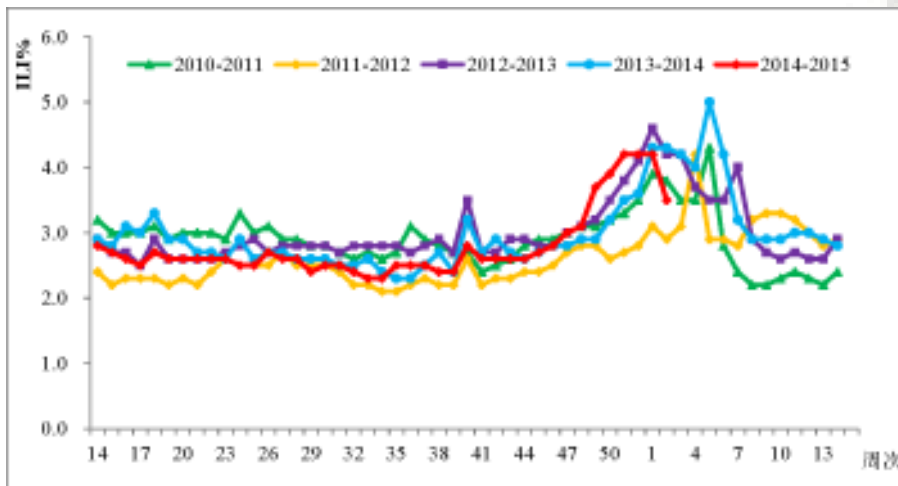


图4 2010 - 2015 年度北方省份哨点医院报告的流感样病例%

病原学监测

(一) 流感样病例监测。

1. 全国流感病毒分离情况。

截至2015年1月12日数据下载时,2014年第51周—2015年第2周(2014年12月15日—2015年1月11日)全国各省(市、区)有206家网络实验室开展了病毒分离工作,共分离到1594株流感病毒(表3)。自2014年10月1日(2014年第40周)以来,国家流感中心(CNIC)收到各流感监测网络实验室上送的甲型H1N1、A(H3N2)和B型流感毒株4108株,其中采样日期在2014年10月1日之后甲型H1N1、A(H3N2)和B型流感毒株3241株。(表4)

表3 2014年第51周—2015年第2周各省份流感病毒分离情况(按采样日期统计)

省份	分离的流感病毒株数	分离的A型各亚型与B型各系毒株数			
		A(H3N2)	甲型 H1N1	B(Victoria)系	B(Yamagata)系
山东省	227	216	2	0	9
北京市	204	200	0	0	4
陕西省	143	143	0	0	0
辽宁省	129	129	0	0	0
甘肃省	101	100	0	1	0
河南省	90	90	0	0	0
黑龙江省	80	69	0	3	8
吉林省	80	80	0	0	0
天津市	70	70	0	0	0
上海市	67	13	0	0	54
山西省	61	61	0	0	0
安徽省	56	11	0	0	45
河北省	50	48	0	0	2
湖南省	41	34	0	0	7
云南省	39	22	8	3	6
四川省	38	8	0	0	30
浙江省	31	3	0	0	28
广西省	17	6	0	0	11
贵州省	17	12	0	0	5
江苏省	11	7	1	0	3
江西省	10	2	0	6	2
内蒙古	9	9	0	0	0
新疆	6	6	0	0	0
广东省	5	3	0	0	2
湖北省	5	5	0	0	0
重庆市	3	0	0	0	3
福建省	2	0	0	0	2
宁夏	1	1	0	0	0
青海省	1	1	0	0	0
总计	1594	1349	11	13	221



表4 国家流感中心累计收检季节性流感毒株数量
(采样日期 2014年10月1日 - 2015年1月11日)

省份	收检次数	收检毒株总数	省份	收检次数	收检毒株总数	省份	收检次数	收检毒株总数
安徽	24	102	湖北	10	48	陕西	25	193
北京	26	360	湖南	21	86	上海	23	112
福建	2	6	吉林	18	151	四川	28	123
甘肃	13	134	江苏	39	156	天津	13	307
广东	16	25	江西	6	13	西藏	0	0
广西	19	70	辽宁	20	90	新疆	25	147
贵州	29	46	内蒙古	1	11	新疆兵团	0	0
海南	0	0	宁夏	1	3	云南	63	192
河北	5	81	青海	1	8	浙江	27	81
河南	66	295	山东	19	122	重庆	3	7
黑龙江	30	181	山西	13	91			

2. 南方省份。

2015年第2周，南方省份检测到流感阳性标本542份（19.0%），其中A型流感阳性标本186份（34.3%），B型阳性标本356份（65.7%）。186份A型流感阳性标本中，183份为A(H3N2)流感，2份为甲型H1N1流感，1份为A（未分亚型）；356份B型流感阳性标本中，316份为B(Yamagata)系流感，2份为B(Victoria)系流感，38份为B型流感未分系。各型别具体数据见表1和图5。第1周，南方省份网络实验室共分离到53株流感病毒，A(H3N2)流感12株，甲型H1N1流感1株，B(Yamagata)系流感40株。分离的病毒型别构成见图6。

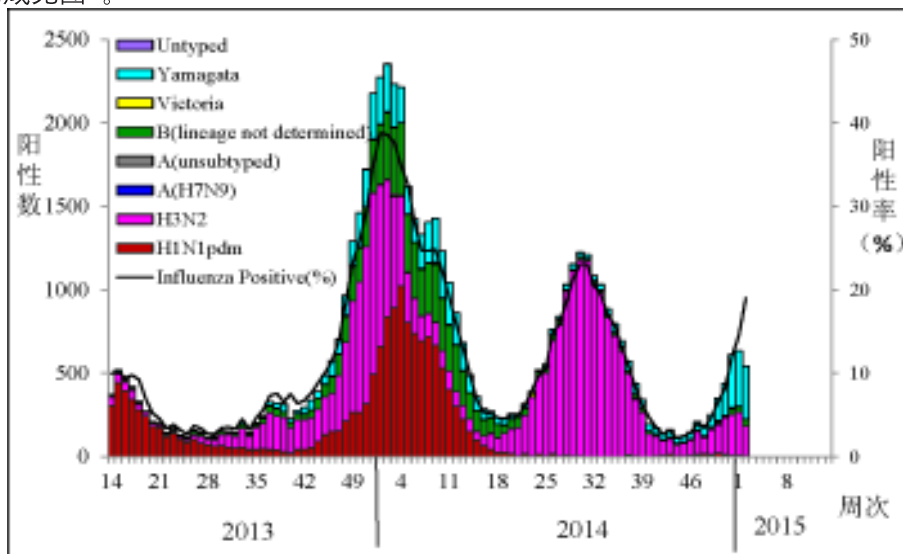


图5 南方省份ILI 标本检测结果

注：数据来源于网络实验室检测结果，网络实验室结果CNIC结果不一致的以CNIC复核结果为准。

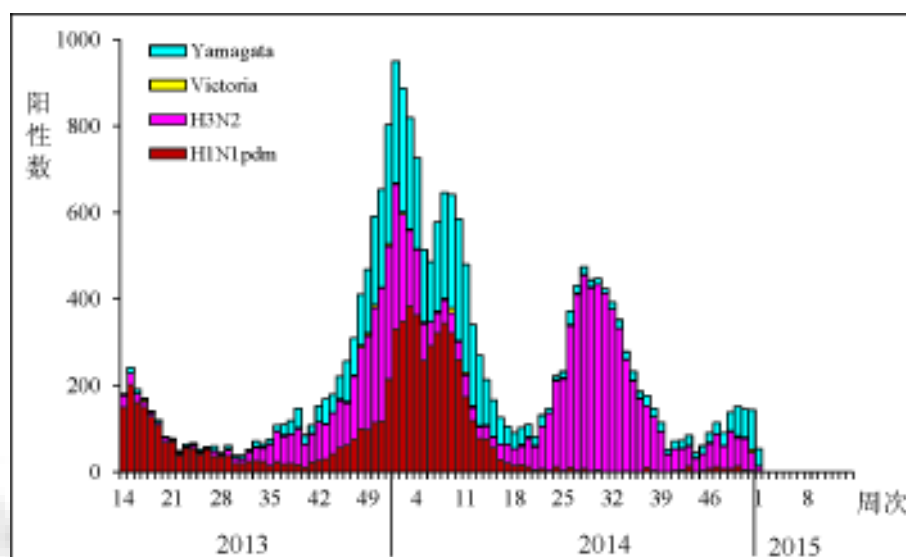


图 6 南方省份ILI 标本分离毒株型别 / 亚型构成

注：数据来源于网络实验室检测结果，网络实验室结果和 CNIC 结果不一致的以 CNIC 复核结果为准。

3. 北方省份。

2015年第2周，北方省份检测到流感病毒阳性标本502份（23.3%），其中A型流感496份（98.8%），B型流感6份（1.2%）。496份A型流感阳性标本中，490份为A(H3N2)流感，6份为A（未分亚型）；6份B型流感阳性标本中，1份B(Yamagata)系流感，5份B未分系流感。各型别具体数据见表1和图7。第1周，北方省份网络实验室分离到95株流感病毒，A(H3N2)流感90株，B(Yamagata)系流感4株，B(Victoria)系流感1株。分离的病毒亚型构成见图8。

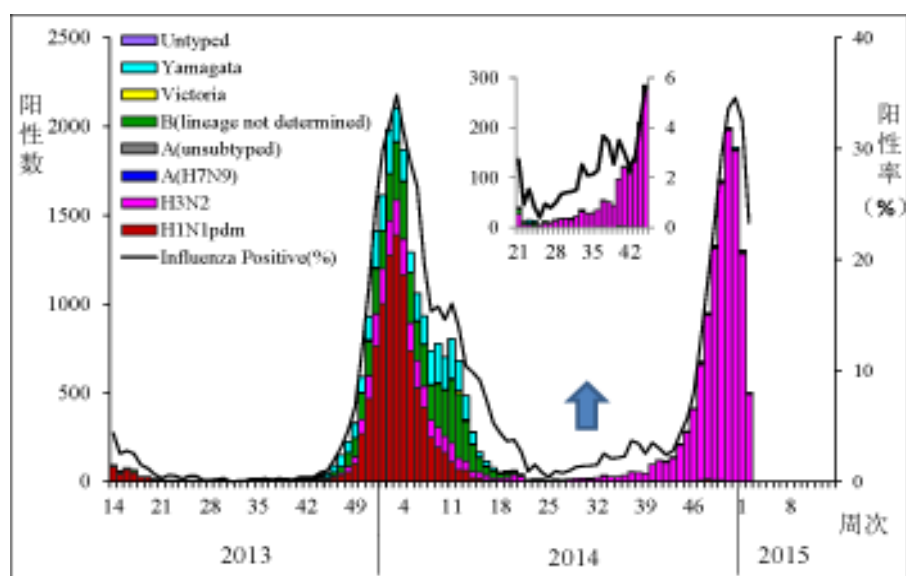


图 7 北方省份ILI 标本检测结果

注：数据来源于网络实验室检测结果，网络实验室结果和 CNIC 结果不一致的以 CNIC 复核结果为准。

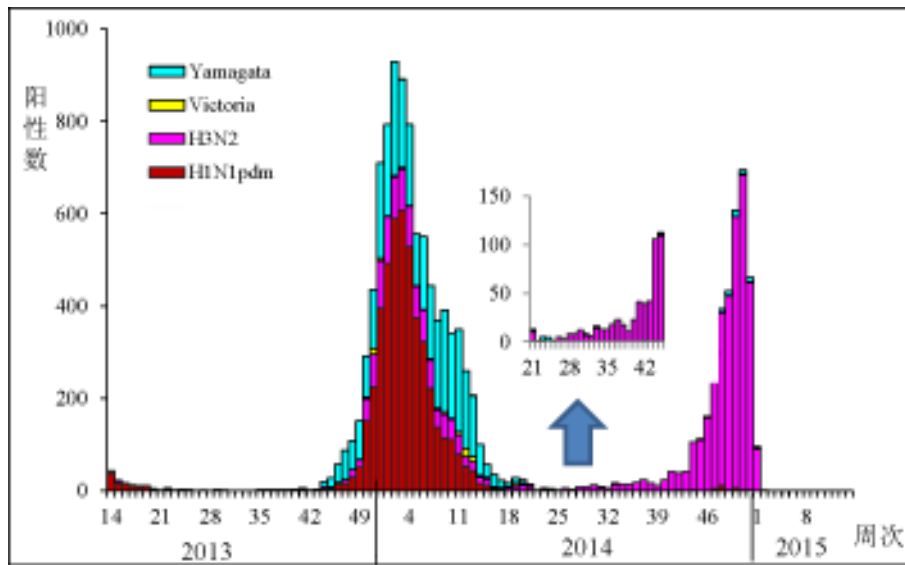


图8 北方省份ILI标本分离毒株型别/亚型构成

注：数据来源于网络实验室检测结果，网络实验室结果和CNIC结果不一致的以CNIC复核结果为准。

(二) ILI 暴发疫情实验室检测结果。

1. 南方省份。

2015年第2周,南方省份网络实验室收到流感样病例暴发疫情标本149份,检测到74份阳性标本, A(H3N2)流感50份, B(Yamagata)系流感16份, B(Victoria)系流感6份, B未分系流感2份。(图9)

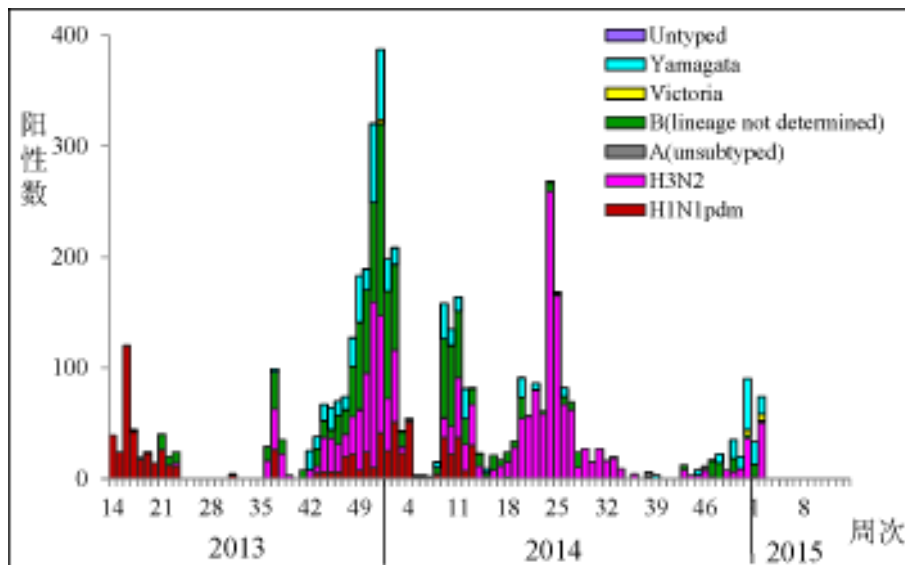


图9 南方省份ILI暴发疫情标本检测结果

注：数据来源于网络实验室检测结果，网络实验室结果和CNIC结果不一致的以CNIC复核结果为准。

2. 北方省份。

2015年第2周,北方省份网络实验室收到流感样病例暴发疫情标本70份,检测到9份阳性标本,均为A(H3N2)流感。(图10)

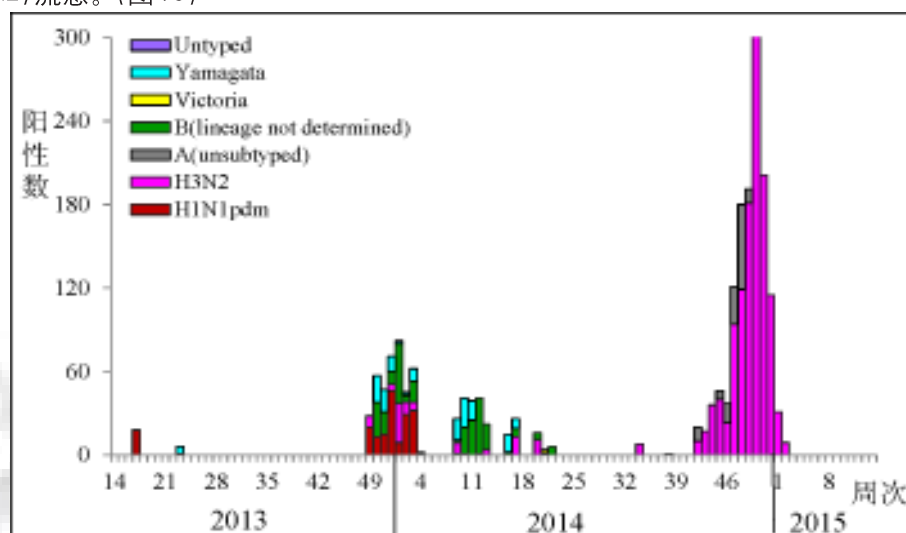


图10 北方省份ILI暴发疫情标本检测结果

注:数据来源于网络实验室检测结果,网络实验室结果和CNIC结果不一致的以CNIC复核结果为准。

(三) 抗原性和基因特性分析。

2015年第2周,国家流感中心对71株A(H3N2)亚型流感毒株进行抗原性分析,71株均为A/Texas/50/2012(H3N2)(鸡胚株)的低反应株。

2014年10月1日-2015年1月11日(以采样日期统计),CNIC对17株甲型H1N1流感病毒进行抗原性分析,17株(100%)均为A/California/7/2009的类似株;对同期的244株A(H3N2)亚型流感毒株进行抗原性分析,其中1株(0.4%)为A/Texas/50/2012(H3N2)(鸡胚株)的类似株,243株(99.6%)为A/Texas/50/2012(H3N2)(鸡胚株)的低反应株;对同期的78株B(Yamagata)系流感病毒进行抗原性分析,其中72株(92.3%)为B/Massachusetts/2/2012的类似株,6株(7.7%)为B/Massachusetts/2/2012的低反应株;对同期的1株B(Victoria)系流感毒株进行抗原性分析,1株(100%)为B/Brisbane/60/2008的类似株。

(四) 耐药性分析。

2015年第2周,国家流感中心对6株甲型H1N1、109株A(H3N2)、36株B型流感毒株耐药性监测显示,所有甲型H1N1、A(H3N2)、B型流感毒株均对神经氨酸酶抑制剂敏感。

2014年10月1日-2015年1月11日,CNIC耐药监测数据显示,所有甲型H1N1和A(H3N2)亚型流感毒株均对烷胺类药物耐药;所有甲型H1N1、A(H3N2)亚型和B型流感毒株均对神经氨酸酶抑制剂敏感。



人感染动物源性流感病毒疫情

(一) 人感染H7N9禽流感病毒疫情。

根据传染病报告信息管理系统数据, 2015年第2周, 我国内地报告人感染H7N9禽流感确诊病例16例, 发生在福建(6例)、广东(4例)、江苏(3例)浙江(2例)和新疆(1例), 其中包括上周2例疑似病例, 本周诊断为确诊病例; 死亡3例。2014年1月1日-2015年1月11日, 我国内地累计报告人感染H7N9确诊病例344例, 死亡病例136例。截止2015年1月11日, 我国累计报H7N9确诊病例493例, 死亡病例187例(含香港11例, 死亡3例; 台湾4例, 死亡1例)。

表5 我国内地报告人感染H7N9禽流感确诊病例情况
(2014年1月1日-2015年1月11日)

省份*	确诊病例数	死亡病例数	病死率(%)	性别		年龄范围(中位数)
				男	女	
安徽	14	11	78.57	13	1	14-85 (61.5)
北京	3	1	33.33	2	1	7-73 (57)
福建	32	6	18.75	25	7	2-80 (54)
广东	111	38	34.23	68	43	2-88 (55)
广西	2	1	50	1	1	5-55 (30)
湖南	22	9	40.91	15	7	8-78 (47.5)
吉林	2	1	50	2	0	49-63 (56)
江苏	37	16	43.24	25	12	27-82 (54)
上海	9	7	77.78	7	2	30-86 (56)
江西	2	0	0	1	1	23-75 (49)
浙江	97	37	38.14	64	33	1-84 (58)
山东	3	2	66.67	3	0	33-60 (58)
新疆	7	4	57.14	4	3	44-81 (66)
兵团	3	3	100	2	1	45-68 (54)
总计	344	136	39.53	232	112	1-88 (56)

*: 按现住址统计。

(二) 人感染 H5N1 高致病性禽流感病毒疫情。

第2周, WHO报告新的人感染H5N1高致病性禽流感病例18例,均来自埃及。

表 6 第 2 周全球报告人感染高致病性禽流感疫情 (以 WHO 公布日期为准)

国家	地区	年龄	性别	发病日期	住院日期	死亡日期	暴露史
埃及	Menia	26岁	男	2014/11/23	2014/11/29	2014/12/1	散养家禽
	Sohag	33岁	女	2014/11/25	2014/11/29	2014/12/10	活禽市场家禽
	Sohag	2岁	女	2014/12/2	2014/12/4	NA	散养家禽
	Sohag	1岁	女	2014/12/7	2014/12/7	NA	散养家禽
	Sohag	3岁	男	2014/12/8	2014/12/9	NA	散养家禽
	Assiut	20岁	女	2014/12/10	2014/12/15	2014/12/17	散养家禽
	Menia	3岁	女	2014/12/13	2014/12/14	NA	散养家禽
	Sohag	42岁	女	2014/12/4	2014/12/15	NA	散养家禽
	Sohag	42岁	男	2014/12/19	2014/12/20	NA	散养家禽
	Aswan	5岁	男	2014/12/12	2014/12/21	2014/12/24	散养家禽
	Menoufiya	30岁	女	2014/12/21	2014/12/24	NA	散养家禽
	Menia	25岁	女	2014/12/21	2014/12/23	NA	散养家禽
	Cairo	42岁	男	2014/12/23	2014/12/26	NA	散养家禽
	Assiut	51岁	男	2014/12/20	2014/12/24	NA	活禽市场家禽
	Giza	3岁	男	2014/12/21	2014/12/26	NA	活禽市场家禽
	Giza	6岁	女	2014/12/26	2014/12/28	NA	活禽市场家禽
	Menoufiya	45岁	男	2014/12/26	2014/12/27	NA	散养及活禽市场家禽
	Sharkia	4岁	女	2014/12/29	2014/12/31	NA	散养家禽

NA: 不适用或缺少相关信息。

(译自: http://www.who.int/influenza/human_animal_interface/en/)



动物禽流感疫情

第2周, OIE报告高致病性禽流感动物流行7起, 来自日本(1起)、德国(1起)、尼日利亚(1起)、加拿大(1起)、美国(1起)和中国(2起)。

表7 第2周全球报告动物感染高致病性禽流行动物疫情(以OIE公布日期为准)

国家/地区	省/市	疫情开始时间	疫区	感染的禽流感型	涉及种类	涉及动物数量	动物感染数量	动物死亡数量
日本	KAGOSHIMA	2015-1-3	—	H5N8	白头鹤	—	1	1
德国	MECKLENBURG-VORPOMMERN	2015-1-7	动物园	H5N8	东方白鹤	496	3	3
中国	台湾	2015-1-8	农场	H5N8	鹅类	5200	3683	3683
	江西	2015-1-5	农场	H5N1	家禽	20483	2371	2371
尼日利亚	KANO	2015-1-2	农场	H5	家禽	1568	1568	1370
加拿大	BRITISH COLUMBIA	2014-12-19	庭院	H5N2	家禽	85	12	3
美国	WASHINGTON	2014-12-24	庭院	H5N2	家禽	178	37	37

—: 未涉及或不详。

(译自: http://www.oie.int/wahis_2/public/wahid.php/Diseaseinformation/WI)

其他国家 / 地区流感监测情况

全球

在全球范围内, 流感活动继续上升。北半球仍以A(H3N2)流感病毒为主, 近期A(H3N2)病毒的抗原性分析表明, 流行毒株用于北半球2014–2015年的流感A(H3N2)病毒的疫苗存在差异。检测到的A(H3N2)病毒没有显示对神经氨酸酶抑制剂敏感。

北美地区仍然处于流感流行季节，流感活动在大部分地区继续上升，主要流行株为 A (H3N2)。欧洲流感活动保持低水平，但显示已进入流行季节。

东亚地区流感活动上升，以 A (H3N2) 病毒为主。

非洲北部和西部流感活动上升，主要流行株为 B 型流感。

美洲热带国家，流感活动水平在加勒比海地区有所上升，美洲中部有所降低，在南美的热带国家仍然保持较低水平。

亚洲热带地区，流感活动有所上升，以 B 型流感为主，但总体仍保持较低水平。

南半球流感活动仍然保持较低水平，只有一些太平洋岛屿 ILI 活动水平仍然较高。

基于 FluNet 上 (截止 2015 年 1 月 9 日 13:00UTC) 51 – 52 周 (2014 年 12 月 14 日 – 2014 年 12 月 27 日) 全球流感监测实验室共检测了 96535 多份标本, 23421 份检测结果为阳性, 其中 22129 份为 A 型 (94.5%), 1292 份为 B 型 (5.5%)。所有已分亚型标本中, 163 (1.7%) 份为甲型 H1N1 流感, 9211 (98.3%) 份为 A (H3N2) 流感。所有 B 型已分亚型流感标本中, 423 份 (97.9%) 为 B (Yamagata) 系, 9 份 (2.1%) 为 B (Victoria) 系。

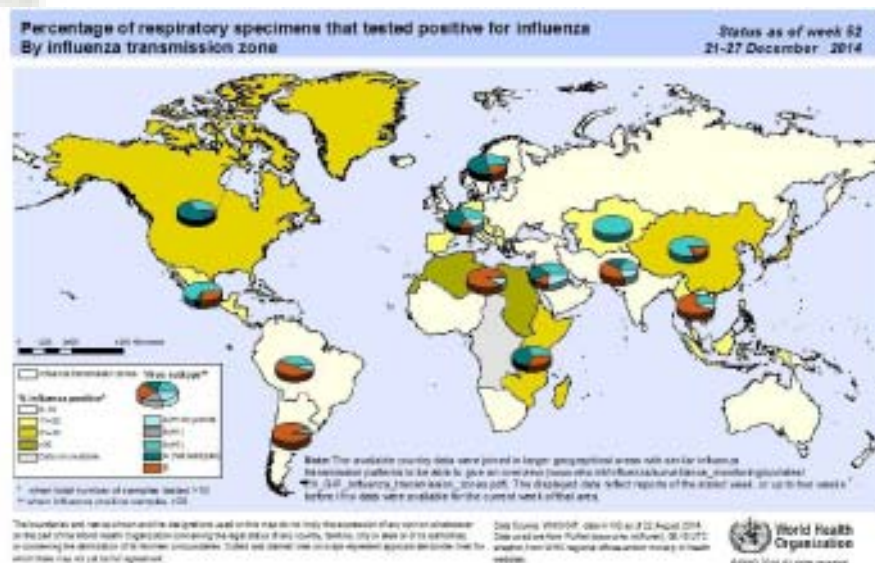


图 11 全球流感监测分布图

北半球温带地区

北美洲

北美国家进仍然处于流感流行季节，流感活动在大部分国家继续上升，主要流行株为 A (H3N2)。

加拿大流感样病例活动仍然低于预期水平，ILI%在过去的几周急剧增至 29.1%，在八个地区都广泛的报告了流感活动。抗病毒药物的处方率较前一周增加了一倍。A (H3N2) 仍为主要流行株。实验室检出的流感病毒中，97% 为 A 型，其中 99.8% 为 A (H3N2)。报告了年龄的病例中，56% 的病例年龄在 65 岁以上。流感导致的住院病例增多，也以 A (H3N2) 为主。成人住院的大部分 (85%) 均为 65 岁以上的成年人。RSV 的检测数量也有所增加，位于除了流感，第二最常检测到的病毒。



美国流感活动继续上升（阳性率为30.4%）。ILI活动水平急剧上升至5.9%，达到2012—2013年的峰值水平。所有10个地区报告的ILI活动水平均高于基线水平，29个州流感活动水平较高。122个城市报告死于肺炎和流感的死亡人数占全部死亡人数的6.8%，略低于流行阈值6.9%。总的住院率为12.6%。年龄组以65岁以上占较大比例，94%的住院成年人都是在基本医疗检查中报告的。在7289份流感阳性标本中，96.6%为A型，3.4%为B型流感。在A型已分亚型中，99%为A(H3N2)。流感病毒抗原性分析表明：10月1日到12月27日收集和分析的A(H3N2)病毒中，大多数A(H3N2)病毒的抗原性与2015年南半球流感疫苗株类似，但68.3%的抗原性与疫苗株不同。呼吸道合胞病毒的检测率也持上升趋势。在美国，所有已测试最近流行的流感病毒都对神经氨酸酶抑制剂敏感。

墨西哥，ARI活动略有上升，逐渐进入流行季节，流感检测数量略有增加。

欧洲

流感活动维持在低水平，但是已进入流行季节。在2014年的最后一周，从欧洲地区25个国家的哨点流感样病例和急性呼吸道感染的患者处，采集到649份样本，其中来自15个国家的85份（13%）为流感病毒阳性。流感活动上升主要出现在西北部的国家。A(H3N2)仍为主要流行株。与美国的监测结果类似，欧洲的病毒数据表明，相当一部分的A(H3N2)病毒与A(H3N2)疫苗不匹配。所有的75份A(H3N2)和17份甲型H1N1流感病毒，均对神经氨酸酶抑制剂，奥司他韦和扎那米韦敏感。

非洲北部地区

在阿尔及利亚，摩洛哥和突尼斯的流感检测数量有所增加，以B型流感为主。利比亚报告了一些甲型H1N1病毒感染的重症病例。

亚洲西部和中部地区

中亚地区流感活动水平仍较低，但乌兹别克斯坦略有上升，以A(H3N2)病毒为主。在西亚地区，巴林和卡塔尔都报告了甲型H1N1流感疫情。

东亚

亚洲东部地区流感活动水平上升。

中国北方片区，流感活动水平继续上升，主要流行株为A(H3N2)，ILI%上升至4.1%，与流行季节趋势一致。与2010—2013年同期（2.7%—3.9%）水平相近且略有上升。日本流感活动水平上升且以A(H3N2)为主要流行株。蒙古ILI活动水平继续上升且超过阈值，但没有数据表明实验室确诊的流感病例数量在增加。

热带地区

美洲/中美洲和加勒比热带国家

整体流感活动仍然处于低水平。

古巴，A(H3N2)检测数在过去几周有所下降。美洲中部，流感活动在A(H3N2)流感病毒感染峰值

过后，有所下降，但呼吸道合胞病毒活动水平仍然很高。南美洲的热带地区，ILI 流感活动水平、SARI 和实验室确诊流感病例数仍处于低点。

中非热带地区

非洲地区流感活动只在少数国家报告。科特迪瓦主要以B型流感为主，而坦桑尼亚主要是以A (H3N2) 流感为主。马达加斯加和赞比亚，流感活动是以A型以及B型流感为主，且有所下降。

亚洲热带地区

大部分南亚和东南亚国家，流感活动水平下降或者保持低水平。

南半球温带地区

南半球国家的流感活动仍处于非流行季水平，只有美国属萨摩亚，纽埃，所罗门群岛和瓦努阿图流感活动水平较高。

(译自: http://www.who.int/influenza/surveillance_monitoring/updates/latest_update_GIP_surveillance/en/index.html)

美国 (第 53 周, 2014 年 12 月 28 日 – 2015 年 1 月 3 日)

第 53 周, 美国流感活动继续维持在较高水平。

第 53 周, 流感样病例门诊监测网络报告的ILI%为 5.6%, 高于国家基线 (2.0%)。

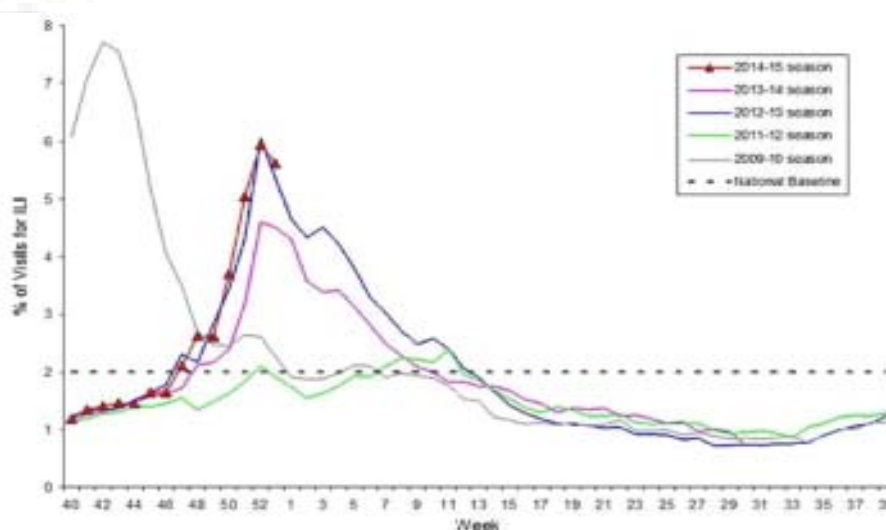


图 12 美国流感样病例监测周分布

第 53 周, 共检测标本 30469 份, 流感病毒阳性 7515 份 (24.7%), 其中 A 型 7218 份 (96%), 包括 2486 份 A (H3)、8 份甲型 H1N1 和 4724 份 A 未分亚型; B 型流感 297 份 (4%)。

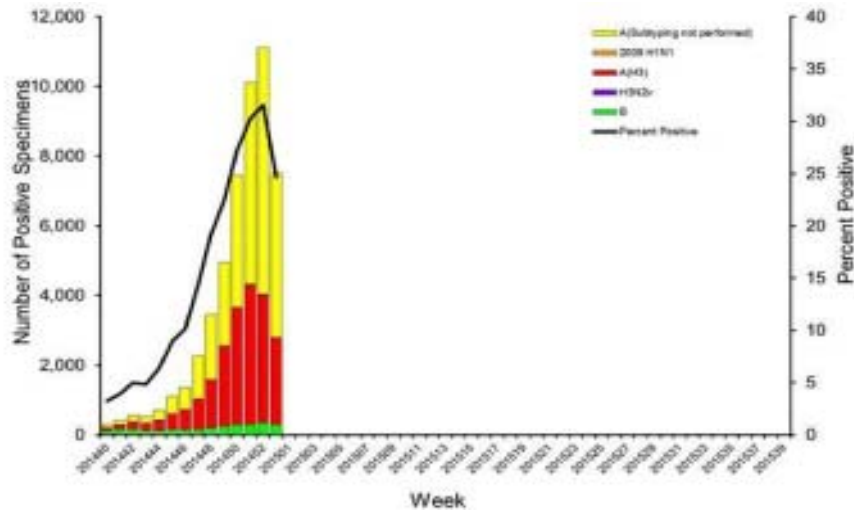


图 13 美国流感病原监测周分布

第53周, 122个城市报告死于肺炎和流感的死亡人数占全部死亡人数的7%, 高于流行阈值6.9%。

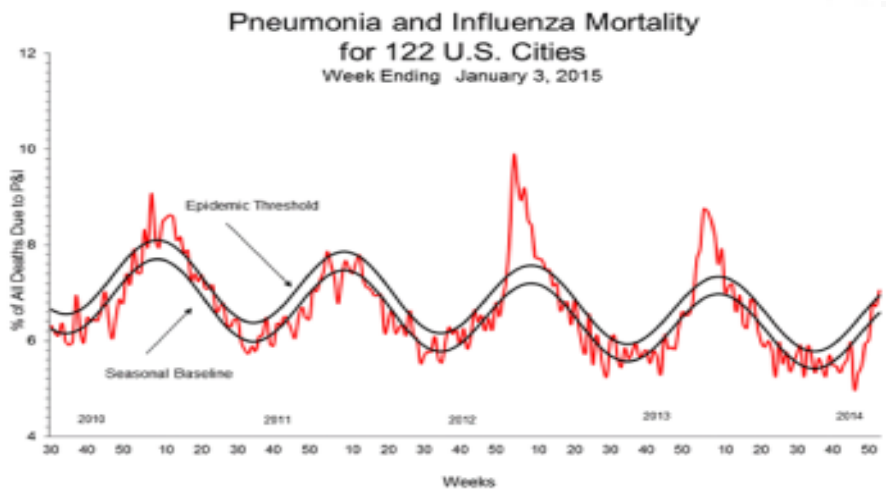


图 14 美国肺炎和流感死亡监测

注: 美国共有 10 个监测地区。

(译自: <http://www.cdc.gov/flu/weekly/pastreports.htm>)

加拿大 (第 52–53 周, 2014 年 12 月 21 日 – 1 月 3 日)

第52周, 实验室检测流感阳性率有所上升, 但在53周保持稳定, 可能这表明我们正在接近流行季节的高峰。

第53周, 流感病毒检测阳性数由52周的3723株急剧上升至5550株, 52周的A型流感的阳性率达到29.1%, 在53周保持相对稳定, 达到34.2%。其中98%为A型流感, 主要为A(H3)。

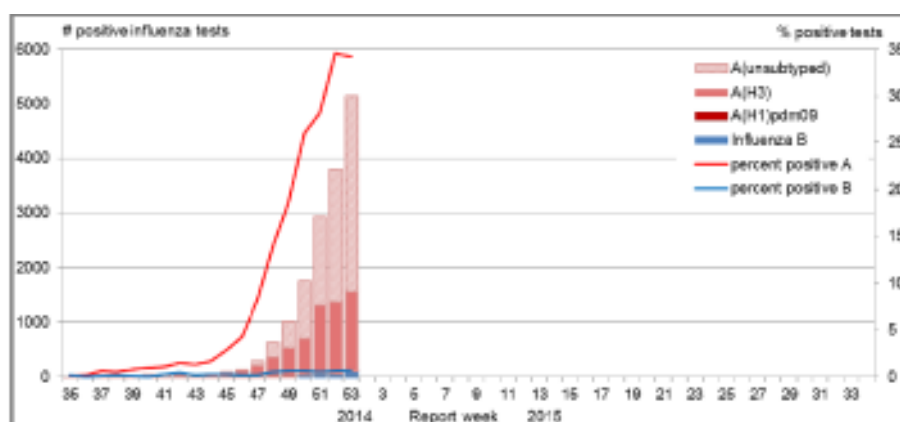


图 15 加拿大流感病原监测周分布

ILI 就诊率有所上升，在 52–53 周达到 69.1%。高于预期范围。

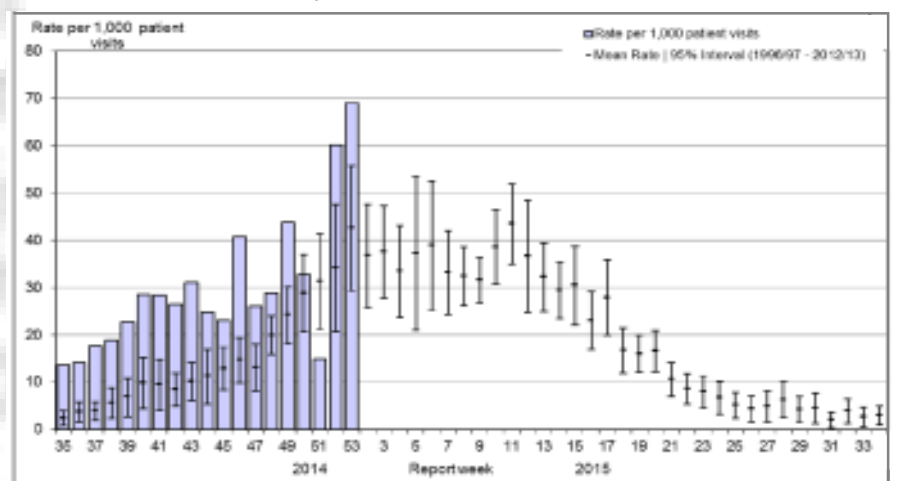


图 16 加拿大流感样病例监测周分布

注：加拿大共有 10 个省和 3 个特区，分为 54 个监测地区。

(译自：<http://www.phac-aspc.gc.ca/fluwatch>)

香港（第 1 周，2014 年 12 月 28 日 – 2015 年 1 月 3 日）

整体流感活跃程度持续上升。

第 1 周，香港定点普通科诊所报告的流感样病例个案平均数为 5.3%。

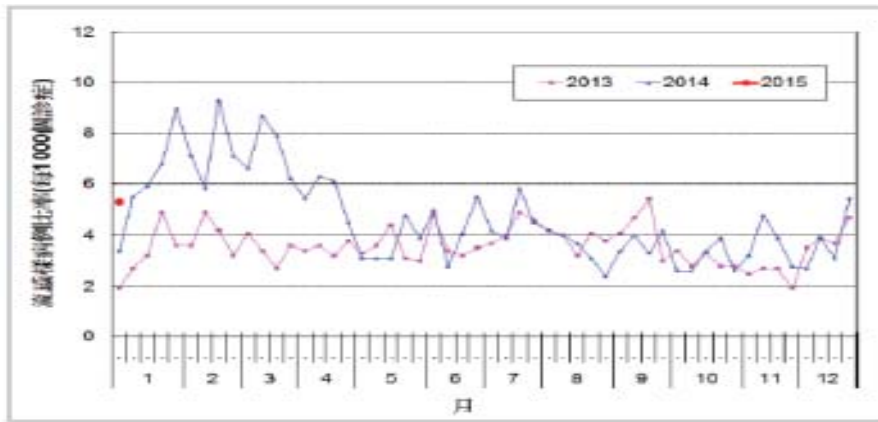


图 17 香港定点普通科诊所流感样病例监测周分布

第1周, 香港定点私家医生所报告的流感样病例个案平均数为 39.5%。

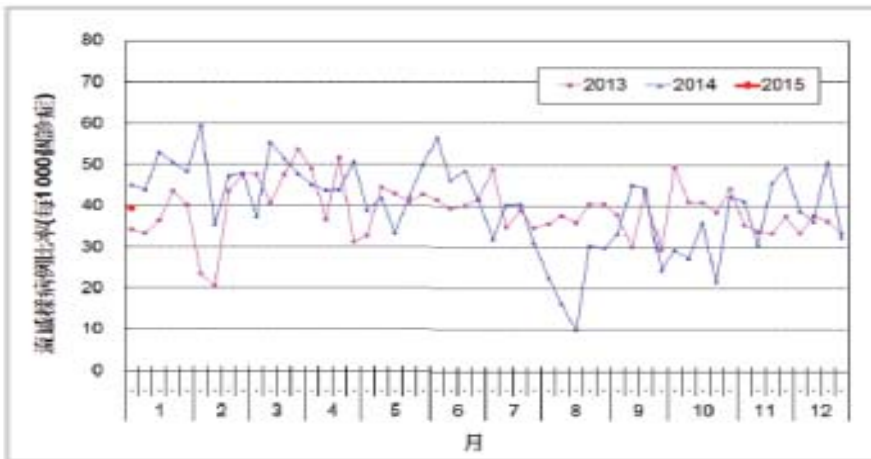


图 18 香港定点私家医生流感样病例监测周分布

第1周, 香港公共卫生检测中心共检测到442份流感病毒阳性标本, 其中包括418份A(H3)、18份B型流感和6份丙型流感。

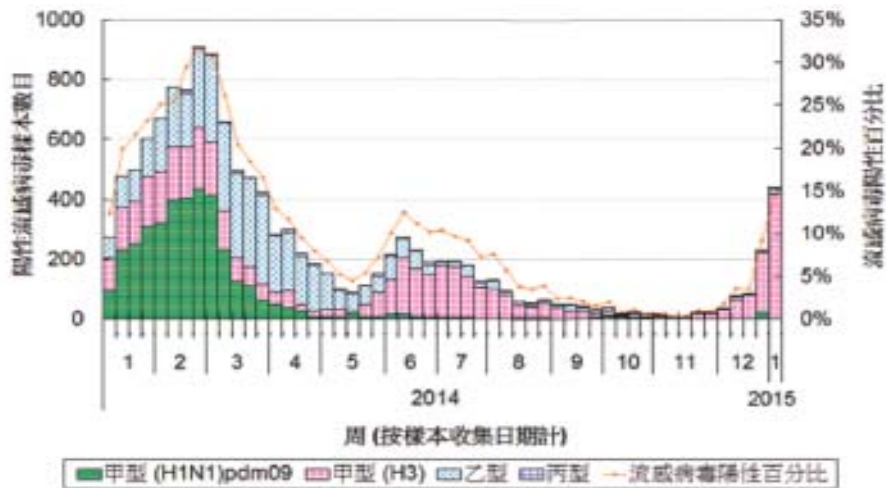


图 19 香港流感病原监测周分布

2015年第1周,本中心获得8起在学校/院舍发生的流感样暴发的报告。2015年第2周的前4天(2015年1月4-7日)有8起在学校发生的流感样暴发的报告。第1周,0-4岁,5-64岁及65岁及以上年龄组主要诊断为流感的入院率分别为0.66、0.08和0.9(此年龄组别每1万人的人口)。

(摘自: http://www.chp.gov.hk/tc/guideline1_year/29/134/441/304.html)

台湾地区 (第 53 周, 2014 年 12 月 28 日 - 2015 年 1 月 3 日)

台湾地区流感疫情已进入流行期;近期社区检出病毒型别以 A(H3N2)型为主。

2014年第51周,社区流感病毒阳性率为12.1%,A型流感病毒阳性检测率为57.9%。

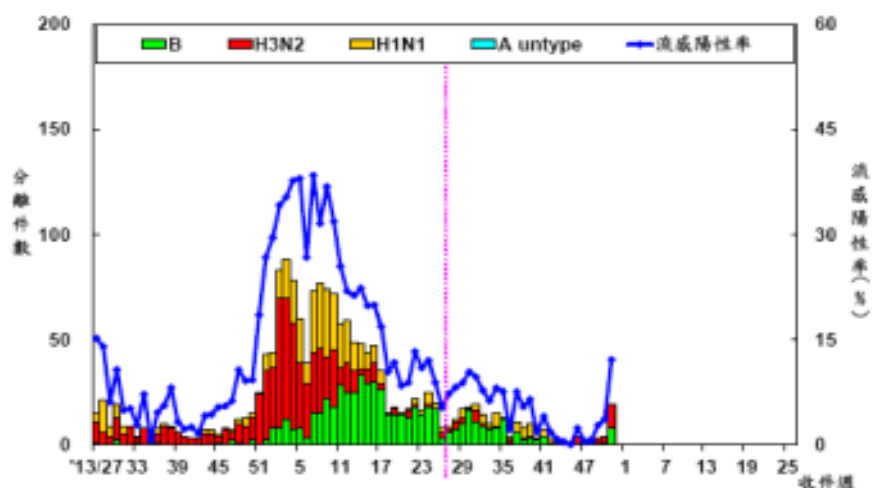


图 20 台湾地区 2012 - 2014 流感病毒分型

2014年第53周,无新增流感并发重症病例。2014年8月1日起累计55例流感并发重症病例,14例流感并发重症死亡病例。

2014年第53周,门诊ILI就诊人数为55504人次,百分比为1.22%,与前一周1.13%相比上升。急诊ILI百分比为10.13%,与前一周9.26%相比上升。门急诊类ILI就诊病例百分比比较前一周上升。

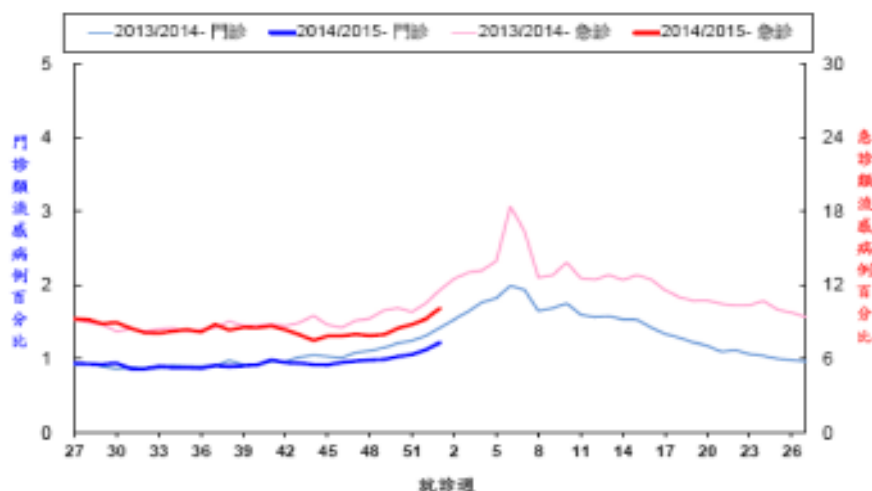


图 21 台湾地区门诊及急诊流感样病例百分比

(摘自: <http://flu.cdc.gov.tw/>)



中国疾病预防控制中心病毒病预防控制所编制

地 址：北京市昌平区昌百路155号病毒病所

邮 编：102206

电 话：010—58900863

传 真：010—58900863

电子邮箱：Fluchina@cnic.org.cn

编 辑：中国疾病预防控制中心病毒病预防控制所国家流感中心

编发日期：2015年1月15日

发行范围：国家卫生计生委领导、疾病预防控制局、卫生应急办公室、
医政司；中国疾病预防控制中心领导、病毒病所、各相关处室；

下 载：中国流感监测信息系统（<http://1.202.129.170:82/>）或
中国国家流感中心网站（<http://www.cnic.org.cn/>）提供下载。